

*Письма в ЖЭТФ, том 14, стр. 599 – 592*

*5 декабря 1971 г.*

**ОПТИЧЕСКАЯ НАКАЧКА И ДИССОЦИАЦИЯ МОЛЕКУЛ РУБИДИЯ  
ПОД ДЕЙСТВИЕМ ЛАЗЕРНОГО ИМПУЛЬСА**

*Н. Н. Коскин, В. А. Ходовой, В. В. Хромов,  
Н. А. Чигирев*

Явление оптической накачки (называемое иногда оптической ориентацией) атомов хорошо известно и состоит в общем случае в создании неравновесного распределения атомов по подуровням основного состояния [1 – 3]. Мы сообщаем о попытке наблюдения аналогичного явления в парах двухатомных молекул<sup>1)</sup>.

<sup>1)</sup> Смотрите по этому поводу также [4, 5]

1. В первом эксперименте наблюдалась кинетика насыщения поглощения излучения рубинового лазера, работающего в пичковом режиме генерации со скважностью около 10 и общей длительностью импульса 700 мксек, насыщенными парами молекулярного рубидия  $Rb_2$  (переходы  $^1\Sigma_g - ^1\Pi_u$  и  $^1\Sigma_g - ^1\Sigma_u$ ). На экране осциллографа с памятью С1-29 регистрировался импульс излучения лазера, прошедшего через пары  $Rb_2$ , когда длительность переднего фронта падающего импульса не превышала 20 мксек. При интенсивности падающего лазерного импульса  $I_0$  порядка  $10 \text{ см}^2/\text{см}^2$  и давлении паров  $Rb_2$  около 0,1 мм рт.ст. наблюдалось затягивание переднего фронта огибающей проходящего через пары импульса до 100 – 200 мксек (рис. 1). Затягивание огибающей переднего фронта отсутствовало при меньших  $I_0 << 10 \text{ см}^2/\text{см}^2$  и больших  $I_0 >> 10 \text{ см}^2/\text{см}^2$  интенсивностях.

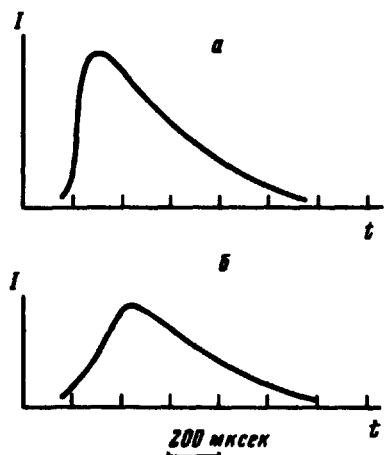


Рис. 1. а – импульс падающего излучения,  
б – импульс прошедшего через пары  $Rb_2$   
излучения

2. Во втором эксперименте фотографировался спектр поглощения  $Rb_2$  как во время действия импульса лазерного излучения (примерно с теми же параметрами), так и после его прекращения. При этом, в качестве пробного источника излучения использовалась лампа ИСК-25 с длительностью импульса 20 мксек.<sup>1</sup> В этом эксперименте оптическая плотность на частоте излучения рубинового лазера составляла  $\sim 6$ . Было установлено, что: а) под действием лазерного излучения происходит равномерное по всей полосе  $^1\Sigma_g - ^1\Pi_u$  уменьшение поглощения. Время воздействия лазерного излучения, необходимое для полного просветления паров во всей полосе поглощения,  $\sim 100 \text{ мксек}$  и не зависит от интенсивности  $I_0$ , если последняя превосходит определенный уровень ( $10^3 \text{ см}^2/\text{см}^2$ )<sup>2</sup>; б) после прекращения лазерного импульса происходит равномерное восстановление поглощения в обеих красных полосах с постоянной времени  $\sim 2 \cdot 10^{-2} \text{ сек}$ . На рис. 2 представлена зависимость коэффициента поглощения  $Rb_2$  от времени после прекращения лазерного импульса, измеренная на длине волны лазерного излучения.

<sup>2</sup>) Полное просветление паров наблюдалось также и в полосе  $^1\Sigma_g - ^1\Sigma_u$ .

Мы полагаем, что наиболее вероятный механизм наблюдаемых явлений состоит в диссоциации молекул  $Rb_2$  на атомы  $Rb$  под действием лазерного излучения и последующем медленном ( $\sim 10^{-2}$  сек) восстановлении молекул  $Rb_2$ . Из анализа спектров поглощения и флуоресценции  $Rb_2$  под действием излучения рубинового лазера следует, что поглощение лазерного излучения вызывает переходы из колебательных уровней  $v'' = 5 - 10$  основного  $^1\Sigma_g$  состояния в колебательные уровни  $v' = 2 - 7$  возбужденного  $^1\Pi_u$  состояния [6]. Прямые переходы с уровнем  $v''' = 0 - 4$ , отвечающие максимуму полосы поглощения, не происходят, так как частота излучения рубинового лазера меньше частоты  $4 - 0$  перехода в полосе  $^1\Sigma_g - ^1\Pi_u$ . Наблюданное в этих условиях затягивание переднего фронта огибающей проходящего через пары импульса свидетельствует об опустошении ряда уровней основного состояния (создание неравновесной заселенности) и последующей релаксации на эти уровни молекул из всех других колебательных состояний. Отмеченное во втором эксперименте равномерное насыщение поглощения в диапазоне  $6600 - 7400 \text{ \AA}$  за время  $\sim 100 \text{ мкsec}$  указывает на то, что термолизация распределения заселенностей по вращательно-колебательным подуровням основного состояния происходит в наших условиях за время  $\lesssim 100 \text{ мкsec}$ .

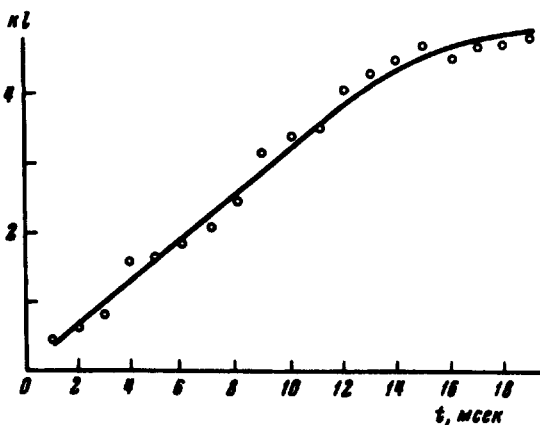


Рис. 2

3. С целью выяснения, чем определяется время полного просветления паров  $Rb_2$ , была предпринята попытка исследовать кинетику насыщения поглощения  $Rb_2$  под действием гигантского импульса излучения рубинового лазера. Для этого кювета с парами рубидия одновременно освещалась излучением гигантского импульса одного лазера и излучением другого рубинового лазера, работающего в режиме пичковой генерации. Интенсивность излучения пичкового лазера ослаблялась до уровня, соответствующего его линейному поглощению. Ширина спектра излучения обоих лазеров и рассогласование их частот не превышали  $0,03 \text{ см}^{-1}$ . Достаточность такой степени совпадения частот обоих лазеров подтверждалась уменьшением поглощения луча пичкового лазера во время действия гигантского импульса. В этих условиях не было обнаружено остаточного просветления молекулляр-

ного рубидия для интервалов времени после воздействия гигантского импульса, больших  $3 \cdot 10^{-7}$  сек. Отсюда следует, что заселение опустошенного излучением гигантского импульса вращательно-колебательного уровня происходит за время меньшее  $3 \cdot 10^{-7}$  сек при использовании давления молекулярного пара (давление атомарного пара в этих условиях составляло  $\sim 10$  мм рт. ст.). Наличие столь быстрой релаксации в основном состоянии наводит на мысль, что время полного просветления паров  $Rb_2$  ( $\sim 10^{-4}$  сек) определяется временем диссоциации молекул  $Rb_2$  из возбужденного  $^1\Pi_u$  состояния.

Молекулярные пары были использованы нами для одновременной пассивной модуляции добротности и уменьшения нестабильности частоты излучения рубинового и неодимового лазеров до величины меньшей  $10^8$  Гц [7, 8]. В [8] уже отмечалось, что генерация серии слабых импульсов неодимового лазера связана с наличием остаточного просветления паров  $Cs_2$ .

Мы полагаем, что дальнейшее исследование обнаруженных явлений позволит выяснить механизм и определить константы молекулярной диссоциации и рекомбинации, а также скорости молекулярной релаксации в основном и возбужденном состояниях. Используя методы радиооптической спектроскопии для обнаружения неравновесных распределений молекул по подуровням основных и возбужденных электронных состояний (колебательным, вращательным зеемановским и штарковским), оптически накаченные молекулярные пары могут быть использованы для измерения частот молекулярных переходов, а также констант зеемановского и штарковского расщеплений.

Авторы выражают глубокую признательность профессору А.М.Бонч-Бруевичу за поддержку и интерес к данной работе.

Государственный  
оптический институт  
им. С.И.Вавилова

Поступила в редакцию  
25 октября 1971 г.

### Литература

- [1] A.Kastler. J. de Physique, 11, 255, 1950.
- [2] Г.В.Скроцкий, Т.Г.Изюмова. УФН, 4, 177, 1961.
- [3] A.Kastler, C.Cohen-Tannoudji. Progr. Opt., 5, 3, 1966.
- [4] R.E.Drullinger, R.N.Zare. J. Chem. Phys., 51, 5531, 1969.
- [5] J.H.Simpson, D.S.Bayley. E.C.Eberlin. Bull. Amer. Phys. Soc., сер 11, 16, №1, 107, 1971
- [6] Н.Н.Костин, М.П.Соколова, В.А.Ходовой, В.В.Хромов. ЖЭТФ, 62, вып. 2, 1972.
- [7] А.М.Бонч-Бруевич, Н.Н.Костин, В.А.Ходовой, В.В.Хромов. Письма в ЖЭТФ, 12, 354, 1970. \*
- [8] Н.Н.Костин, В.А.Ходовой, Н.А.Чигирь. Оптика и спектроскопия, (в печати).